榆林市地质灾害气象预报方法初探

高 蕊, 韩姗姗, 贺彦兵 (榆林市气象局, 陕西榆林 719000)

摘 要: 统计分析 1985—2007 年榆林市地质灾害资料及对应的降水资料, 初步揭示了榆林市地质灾害规律及地质灾害发生与降水的关系。结果表明: 地质灾害与前 10 天降水量有明显的相关性。建立基于日综合雨量预测地质灾害的预报模型, 确立了榆林地质灾害等级预报的降水指标, 对榆林市地质灾害预报预警有一定的参考价值。

关键词: 地质灾害; 降水量; 等级预报模型 中图分类号: P49 **文献标识码**: A

根据研究,65%以上的地质灾害是由降雨诱发的[1],利用地质灾害与降水的关系制作地质灾害气象预报是可行的[2-4]。榆林市是陕西省地质灾害较严重的地区之一,频发的地质灾害给当地带来严重经济损失和人员伤亡,因此开展地质灾害的气象预报研究工作十分必要。通过统计分析降水和地质灾害资料,确定诱发地质灾害的日综合雨量临界值,建立榆林市地质灾害预报方法。

1 资料和方法

1.1 资料

所用资料为 1985—2007 年榆林市地质灾害资料,来源于榆林市国土资源局,及相应的榆林市 12 县区气象站逐月和逐日降水资料,来源于榆林市气象局。榆林市地质灾害主要是滑坡和崩塌,1985—2007 年发生的地质灾害中滑坡有具体日期的 27 次,崩塌有具体日期的 24 次。以这 51 个个例为样本分析研究。

收稿日期: 2010-07-08

作者简介: 高蕊 (1979-), 女,陕西榆林人,工程师,从事公共气象服务工作。

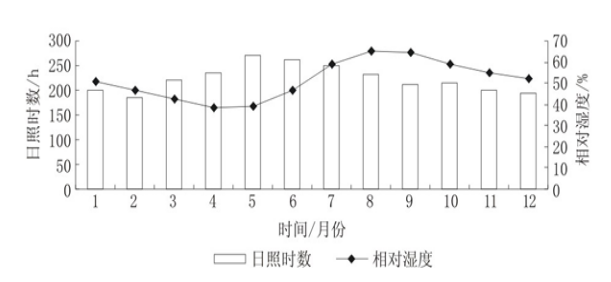


图 3 佳县 1969—2009 年各月平均相对 湿度和平均日照时数

- 3.3 佳县日照资源较丰富,年平均日照时数为2674.8h,5月日照时数最多,2月最少。
- 3.4 佳县气候干燥,年平均相对湿度为 52%, 8—9 月相对湿度最高,4 月最小相对湿度最小。

3.5 佳县夏季炎热、冬季寒冷,降水偏少且分配 不均,气温年较差大,日照充足,空气湿度低,以 干旱为主,适合发展旱作农业,尤其是气候干旱、 日照资源丰富、年较差大,适合红枣糖分积累,对 红枣优生比较有利;全年降水偏少,春秋季气温 适中,适合发展旅游。

参考文献:

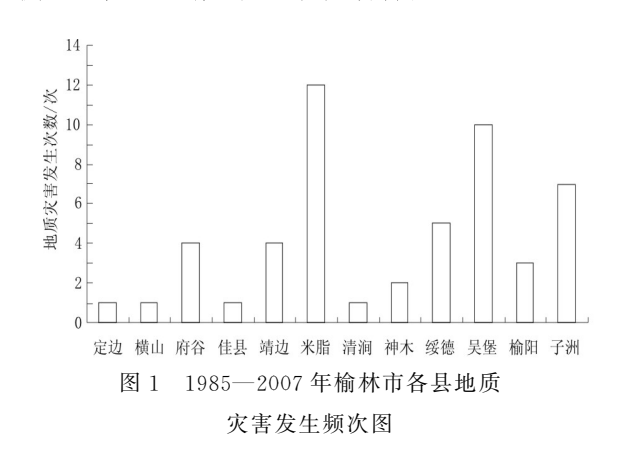
- [1] 胡江波,鲁学忠,苏俊辉.近 51 年宁强县气候特征分析[J].陕西气象,2010(3):18-21.
- [2] 马洪亮,马燕,薛福民.天山天池近 49 年气候变化特征 [J]. 气象科技,2010,38 (2):209-212.
- [3] 陈云峰,罗勇,刘洪滨.气候变化一人类面临的挑战 [M].北京:气象出版社,2007:78.

1.2 方法

统计 1985—2007 年榆林市地质灾害发生的 具体时间、地点,分析榆林地质灾害的基本分布 状况,得到区域历史地质灾害发生频次图。利用 地理信息系统,将距离灾害点最近的气象站雨量 作为该灾害点的雨量。鉴于目前天气预报主要以 10 d 内的预报为主,且较为准确,统计地质灾害 点当日降水量、前 10 天日降水量、降水日数、累 积降水,采用统计方法分析地质灾害和降水量,确 定榆林地区降水量与地质灾害的基本对应关系。

2 地质灾害空间分布特征

图 1 为榆林市地质灾害空间分布图。从图中可以看出,米脂、吴堡、子洲为地质灾害易发区; 其次是府谷、靖边、神木、绥德、榆阳区;定边、 横山、佳县、清涧是地质灾害低发区。



3 地质灾害与降水关系

3.1 与年降水的关系

图 2 为榆林市地质灾害年发生次数与年降水量变化曲线图。由图 2 可见,地质灾害年发生次

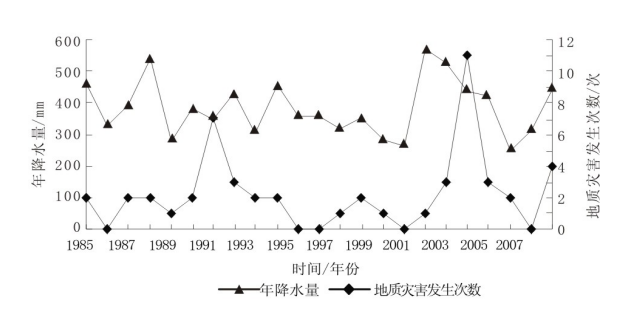


图 2 榆林市地质灾害年发生次数 与年降水量变化曲线图

数的变化趋势与年降水量的变化趋势基本一致,总体来说,降水量多的年份地质灾害发生的次数 也较多。而 1991、2003 年,尽管年降水量相对不 多,但由于出现连阴雨和强降水的次数较多,因此,地质灾害年发生次数明显增多,这说明地质灾害的发生不但与降水量有关,还与降水的性质和强度等因素有关。

3.2 与月降水的关系

图 3 为榆林市月地质灾害发生次数与月降水量分布图。由图 3 可见,地质灾害主要发生在 6—10 月,7—8 月为高峰期,10 月为次高峰期,其它月份相对较少。月降水量呈正态分布,7—9 月降水量处于高峰期,9 月后降水量逐渐减少。月降水量与各月地质灾害发生次数的变化趋势基本相同。地质灾害 10 月的次高峰与 2003 年 10 月的连阴雨和强降水有关。从相关性分析来看,地质灾害和月降水量的相关系数为 0.88,相关性较好。降水量较多时,土壤较长时间处于饱和状态,容易造成地质灾害发生。

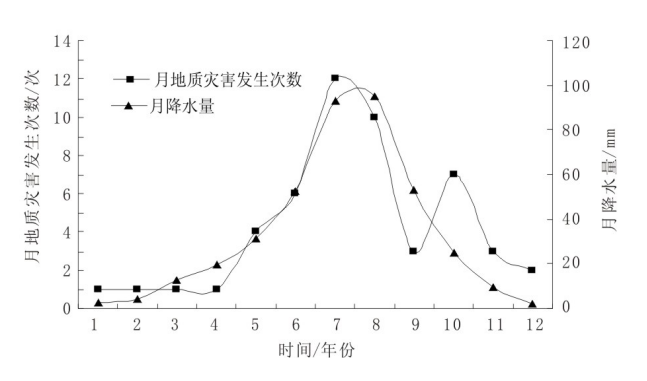


图 3 榆林市月地质灾害发生次数 与月降水量分布图

3.3 与当日降水的关系

统计地质灾害发生当日有明显降水(即日降水量≥10 mm),但前期无明显降水的个例,分析发现,仅由当日降水诱发的地质灾害有 9 次,占17.6 %。从诱发地质灾害的当日降水量来看,最小日降水量为 10.6 mm,最大日降水量为 121.4 mm,平均日降水量为 40 mm。

3.4 与前期降水的关系

研究表明,对地质灾害有影响的降水一般在地质灾害发生前10天之内^[5],因此分析地质灾害

与前期降水关系时,只考虑灾害发生前 10 天的降水量及累积雨量。

灾害发生前 10 天有累积降水量的地质灾害为 48 次,占 94%,其中累积降水量 ≥ 10 mm 的地质灾害有 39 次,占 76%; $10\sim 20$ mm 有 16 次,占 31%; $20\sim 50$ mm 有 18 次,占 35%; $50\sim 80$ mm 有 4 次,占 8%; 80 mm 以上有 2 次,占 4%。前 10 天累积降水量< 10 mm 有 9 次,占 18%。

因此,榆林市地质灾害的发生与前期累积降水量大小关系密切,累积降水量愈大,地质灾害发生的可能性愈大,10天内累积降水量大于10mm以上诱发地质灾害的次数较多。

4 日综合雨量临界值

降水对地质灾害的诱发作用,不仅取决于当日雨量,而且与前期过程降水量有关,但前期各日雨量对地质灾害的影响程度不同^[6]。为此,引入"日综合雨量"这一概念,即考虑当日雨量及前10

日各日降雨量及其影响系数乘积的和,即

$$R_{\rm c} = R_0 + \sum_{i=1}^{10} a_i R_i$$

式中 R_c 为日综合雨量, R_c 为当日雨量, a_i 为影响系数, R_i 为前 i 日当日雨量。由于某日的日降雨量对成灾的影响随时间的延长逐渐减弱直至消失,即是一个衰减过程,因此引入衰减系数 λ ,设 a_i 一 λ^i ,取综合雨量均方差与综合雨量最大值之商作为目标函数,通过优化方法求得 λ =0.8,由此可得各日的影响系数(见表 1)。

将地质灾害等级划分为 5 级,将日综合雨量 <10 mm,作为地质灾害 2 级临界雨量值,将累加 频率达 5%、15%、30%时的日综合雨量,即 20 mm、50 mm、80 mm 作为预警、警报、临灾等 3 个等级的临界雨量值。日综合雨量<20 mm,即地 质灾害等级为 1、2 级时,发生灾害的可能性较小, 其它 3 级对应的发生灾害的可能性逐级增大。

表 1 榆林日降水影响系数表

前 <i>i</i> 日	1	2	3	4	5	6	7	8	9	10
影响系数 ai	0.8	0.64	0.512	0.409	0.328	0.262	0. 210	0.168	0.134	0.107

5 结语

依据上述方法建立的榆林市地质灾害气象预报系统于2009年12月完成并投入业务运行,该系统对于榆林市地质灾害预报预警服务工作有一定的参考价值,提高了政府及国土部门指挥抗灾抢险的决策能力。该方法和系统建立时间较短,考虑影响因素不够全面,还需在实际应用中逐步改进和完善,如将地质参数加入到预报模型,用区域站雨量代替区县站的雨量等。

参考文献:

[1] 丁力,彭九慧,谭国明.承德市地质灾害气象预报方法初探[J].气象科技,2006,34(6):750-753.

- [2] 吴红, 邵亮, 陆登荣. 兰州市区地质灾害与暴雨强度 [J]. 干旱气象, 2005, 23 (1): 63-67.
- [3] 钟荫乾.滑坡与降雨关系及其预报[J].中国地质 灾害与防治学报,1998,9 (4):81-86.
- [4] 崔中兴,杨作栋.黄土地区滑坡的机理分析及防治对策[J].水土保持通报,1994,14(6):48-52.
- [5] 尹明泉,谭俊龄,王治良,等.青岛市崂山区地质 灾害气象预报预警[J].水文地质工程地质,2006, 33(2):96-100.
- [6] 李明,杜继稳,高维英.陕北黄土高原区地质灾害与降水关系[J].干旱区研究,2009,26(4):599-606.

更改电话号码启事

由于陕西省气象局统一更换电话系统,本刊 编辑部电话号码更换为 029-81619306,原来号 码 029-86255958 将并行 2 个月左右后停止使 用,给读者和作者带来的不便请谅解。

(陕西气象编辑部)